

**Assessing the vulnerability of rural settlements in Khonj city  
with an emphasis on earthquakes**Reza Razavimoghadam<sup>1</sup>, Heeva Elmizadeh<sup>2</sup>

1. Department of marin geology, Khorramshahr University of Marine Science and Technology, Khorramshahr, Iran.  
E: [razavi58@kmsu.ac.ir](mailto:razavi58@kmsu.ac.ir)

2. Department of marin geology, Khorramshahr University of Marine Science and Technology, Khorramshahr, Iran.  
E: [elmizadeh@kmsu.ac.ir](mailto:elmizadeh@kmsu.ac.ir) (Corresponding Author)

---

**ARTICLE INFO****ABSTRACT**

---

**Keywords**

Anomaly Detecting  
Fusion  
Fuzzy Segmentation HR-PRS  
images  
GeoEye-1 sensor.

The aim of this study is fuzzy segmentation using GeoEye-1 satellite imagery and proposed clustering and fusion algorithms, and the effectiveness of these techniques in anomaly detection, landforms and automatic formic patterns recognition are examined in the study area. Therefore, in this paper, a study of fuzzy zoning techniques of high spatial resolution (HR-PRS) images in order to better and more accurately detect geomorphic features in areas with obstacles of interpretation and analysis, including Cloud and shadow cover can be useful for planning, management and future sustainable development of areas. The study area in this study is located on Alaa River in Ramhormoz. In this regard, after radiometric and geometric preprocessing, based on fuzzy features, the input images were integrated in MATLAB software and then using FWS, MSA, IDF and CFM algorithms, segmentation was performed. In these methods, fuzzy clustering is performed several times for different numbers of clusters (from  $c_{\min}$  to  $c_{\max}$ ) and the clustering output is evaluated and the best number of regions ( $c$ ) is selected. Also, in the processing stage, in order to reach a certain number of clusters, the image is clustered so that after defuzzification is applied on it, fuzzy segmentation is performed. Finally, the studied fuzzy clustering algorithms with fuzzy parameters are applied to the input HR-PRS images and the results are discussed. The results of fuzzy segmentation and comparison of the proposed methods in the study area show that the Interval-valued Data Fuzzy c-means (IDF) method has a better performance for fuzzy segmentation than other methods. This algorithm also adjusts the detection capability and provides higher accuracy and detects the main boundaries well and removes the extra boundaries. These results also indicate the effectiveness of fuzzy clustering algorithms for segmentation multispectral remote sensing images.

**Article History:**

Received:

31 JU 2024

Received in revised form:

29 OC 2024

Accepted:

31 OC 2024

Available online:

21 NO 2024

---

**Citation:** Reza Razavimoghadam, R. & Elmizadeh, H. (2024). Assessing the vulnerability of rural settlements in Khonj city with an emphasis on earthquakes. Journal of Geography, 22 (82), 91-106.

<http://doi.org/10.22034/iga.2024.2031946.1312>



© The Author(s).

This is an open access article under the CC BY license (<https://creativecommons.org/licenses/by/4.0/>)

Publisher: Iranian Geographical Association

## Extended Abstract

### Introduction

The process of changes detection, identifying landforms and how they are distributed is one of the basic needs of geomorphology and natural resources. On the other hand, remote sensing technology is a useful tool for studying and monitoring terrestrial phenomena in order to produce useful and valuable data in terms of spatial and temporal. Therefore, high spatial panchromatic remote sensing (HR-PRS) images are a useful and efficient tool for identifying and classifying landforms due to their high spatial and spectral resolution.

Obstacles, such as cloud and shadow coverage, greatly affect the analysis and processing of satellite imagery, such as changes detection, classifying, and extracting accurate information from satellite imagery; Therefore, selecting the most appropriate segmentation algorithms to improve the identification and detection of landforms in these areas is of great importance. The selection and development of these algorithms, under the influence of parameters such as radiometric accuracy, atmospheric conditions, spectral, spatial, thematic and temporal resolution, provide a powerful technology for extracting information and preparing thematic maps that can be monitored and evaluated. Provides better landforms and environmental change trends by comparing temporal images. In this regard, fuzzy clustering algorithms is one of the methods that has acceptable performance in the segmentation of high spatial resolution (HR-PRS) images. The aim of this study is fuzzy segmentation using GeoEye-1 satellite imagery and proposed clustering and fusion algorithms, and the effectiveness of these techniques in anomaly detection, landforms and automatic formic patterns recognition are examined in the study area. Therefore, in this paper, a study of fuzzy zoning techniques of high spatial resolution (HR-PRS) images in order to better and more accurately detect geomorphic features in areas with obstacles of interpretation and analysis, including Cloud and shadow cover can be useful for planning, management and future sustainable development of areas.

### Methodology

In this paper, fuzzy segmentation process and clustering algorithms are used with the aim of anomaly detecting and automatic morphic pattern recognition. For image segmentation, in addition to radiometric features, the spatial information of HR-PRS panchromatic images extracted by tissue features is also used. In addition, fuzzy clustering numbers and methods are used to improve the accuracy of study area segmentation. The study area in this study is located on Alaa River in Ramhormoz. In this regard, the panchromatic images of HR-PRS GeoEye-1 sensor have been used. In this regard, after radiometric and geometric preprocessing, based on fuzzy features, the input images were integrated in MATLAB software and then using FWS, MSA, IDF and CFM algorithms, segmentation was performed. In these methods, fuzzy clustering is performed several times for different numbers of clusters (from  $c_{min}$  to  $c_{max}$ ) and the clustering output is evaluated and the best number of regions ( $\hat{c}$ ) is selected. Also, in the processing stage, in order to reach a certain number of clusters, the image is clustered so that after defuzzification is applied on it, fuzzy segmentation is performed. Finally, the studied fuzzy clustering algorithms with fuzzy parameters are applied to the input HR-PRS images and the results are discussed.

### Results and Discussion

In order to compare and analyze the performance of fuzzy clustering in the segmentation process, FWS, MSA, IDF and CFM algorithms were applied and processed on HR-PRS panchromatic images of the study area. The results of fuzzy segmentation and comparison of the proposed methods in the study area (Figure 4) show that the Interval-valued Data Fuzzy c-means (IDF) method has a better performance for fuzzy segmentation than other methods. The IDF method, in which the ambiguity in the HR-PRS images in the segmentation area is taken into account, has the best performance in general to find the optimal number of clusters and centers of clusters and to detect features. This algorithm also adjusts the detection capability and provides higher accuracy and detects the main boundaries well and removes the extra boundaries. The results also show that the Fuzzy Watershed Segmentation (FWS) method in the field of spatial features detection and river detection, which is a spatial criterion, has shown good performance in fuzzy clustering and in pixel fuzzy clustering. HR-PRS images examined

image boundaries are well separated. However, due to its high sensitivity to noise, the FWS method faces the problem of creating additional boundaries. As a result, it has not well identified the main boundaries in the shadow and cloud cover area.

### **Conclusion**

The results of applying the studied fuzzy segmentation algorithms on the study area show the use of local and global spatial relationships of pixels for fuzzy clustering of HR-PRS images and also the use of textural, structural and spectral features for segmentation and object recognition in panchromatic images have a high ability to detect geomorphic features. These results also indicate the effectiveness of fuzzy clustering algorithms for segmentation multispectral remote sensing images and confirm the efficiency of the proposed segmentation methods in terms of detecting spatial features and phenomena and accurate extraction of information from images.

### **Funding**

There is no funding support.

### **Authors' Contribution**

the work. All of the authors approved the content of the manuscript and agreed on all aspects of

### **Conflict of Interest**

Authors declared no conflict of interest.

### **Acknowledgments**

We are grateful to all the scientific consultants of this paper.

### **References**

- 1) Abaspur Kazerouni, I.; Mahdipour, H.; Dooly, G.; Toal, D. 2021. Vector Fuzzy c-Spherical Shells (VFCSS) over Non-Crisp Numbers for Satellite Imaging. *Remote Sens.*, 13, 4482. <https://doi.org/10.3390/rs13214482>
- 2) Aboutalebi, M., Torres-Rua, A. F., Kustas, W. P., Nieto, H., Coopmans, C., & McKee, M. (2018). Assessment of different methods for shadow detection in high-resolution optical imagery and evaluation of shadow impact on calculation of NDVI, and evapotranspiration. *Irrigation Science*, 37(3), 407–429. <https://doi/10.1007/s00271-018-0613-9>
- 3) Adachi, M., Ito, A., Yonemura, S., & Takeuchi, W. (2017). Estimation of global soil respiration by accounting for land-use changes derived from remote sensing data. *Journal of Environmental Management*, 200, 97–104. <https://doi/10.1016/j.jenvman.2017.05.076>
- 4) Alok, A. K., Saha, S., & Ekbal, A. (2015). Multi-objective semi-supervised clustering for automatic pixel classification from remote sensing imagery. *Soft Computing*, 20(12), 4733–4751. <https://doi/10.1007/s00500-015-1701-x>
- 5) Arai, R., Kodaira, S., Takahashi, T., Miura, S., & Kaneda, Y. (2018). Seismic evidence for arc segmentation, active magmatic intrusions and syn-rift fault system in the northern Ryukyu volcanic arc. *Earth, Planets and Space*, 70(1). <https://doi/10.1186/s40623-018-0830-8>
- 6) Arekhi, S., (2015). Detecting changes cover land use with object-oriented processing satellite images using the software Idrisi Selva (Case study: Abdanan). *Journal of Geographic Information*, 24: 51-61. <https://doi.org/10.22131/sepehr.2015.15552>
- 7) Atiyah, S. Taheri, M. 2020. Statistical and Fuzzy Clustering Methods and their Application to Clustering Provinces of Iraq based on Agricultural Products , AUT Journal of Mathematics and Computing. 1(1), 101-112. <Https://doi/10.22060/ajmc.2019.14873.1013>
- 8) Atta-Fosu, T., Guo, W., Jeter, D., Mizutani, C., Stopczynski, N., & Sousa-Neves, R. (2016). 3D Clumped Cell Segmentation Using Curvature Based Seeded Watershed. *Journal of Imaging*, 2(4), 31.
- 9) Bayram. B., Demir. N., Akpinar. B., Oy. S., Erdem. F., Vögtle. T., Seker. D. Z. (2018). Effect of Different Segmentation Methods Using Optical Satellite Imagery to Estimate Fuzzy Clustering

- 10) Parameters for SENTINEL-1A SAR Images, International archives of the photogrammetry, remote sensing and spatial information sciences, 12(14), 39–43, <https://doi.org/10.5194/isprs>.
- 11) Ben Salah. M, Mitiche. A, and Ben Ayed. I. (2010) Effective level set image segmentation with a kernel induced data term, Image Processing, IEEE Transactions on, 11(19), 220-232. <https://doi/10.1109/TIP.2009.2032940>
- 12) Benincasa, M., Falcini, F., Adduce, C., Sannino, G., & Santoleri, R. (2019). Synergy of Satellite Remote Sensing and Numerical Ocean Modelling for Coastal Geomorphology Diagnosis. *Remote Sensing*, 11(22), 2636. <https://doi.org/10.3390/rs11222636>
- 13) Brian, W. S., C. Qi and B. Michael. 2011. A comparison of classification techniques to support land cover and land use analysis in tropical coastal zones. *Applied Geography*, 31: 525-532. <http://dx.doi.org/10.1016/j.apgeog.2010.11.007>
- 14) Capolongo, D., Refice, A., Bocchiola, D., D'Addabbo, A., Vouvalidis, K., Soncini, A., Stamatopoulos, L. (2019). Coupling multitemporal remote sensing with geomorphology and hydrological modeling for post flood recovery in the Strymonas dammed river basin (Greece). *Science of the Total Environment*, 651, 1958–1968. <https://doi/10.1016/j.scitotenv.2018.10.114>
- 15) Chang, N.-B., Bai, K., & Chen, C.-F. (2015). Smart information reconstruction via time-space-spectrum continuum for cloud removal in satellite images. *IEEE Journal of Selected Topics in Applied Earth Observations and Remote Sensing*, 8(5), 1898– 1912. <https://doi/10.1109/JSTARS.2015.2400636>
- 16) Chen Y, Wen D, Jing L et al., 2007. Shadow information recovery in urban areas from very high resolution satellite imagery. *International Journal of Remote Sensing*, 28(15): 3249–3254. <http://dx.doi.org/10.1080/01431160600954621>
- 17) Chen, D., Shang, S., & Wu, C. (2014). Shadow-based Building Detection and Segmentation in High-resolution Remote Sensing Image. *Journal of Multimedia*, 9(1). <https://doi/10.4304/jmm.9.1.181-188>
- 18) Choi, H., & Bindschadler, R. (2004). Cloud detection in Landsat imagery of ice sheets using shadow matching technique and automatic normalized difference snow index threshold value decision. *Remote Sensing of Environment*, 91(2), 237– 242. <https://doi/10.1016/j.rse.2004.03.007>
- 19) Chouhan, S. S., Kaul, A. & Singh, U. P. (2018). Image Segmentation Using Computational Intelligence Techniques: Review. *Archives of Computational Methods in Engineering*, 26(3), 533–596. <https://doi/10.1007/s11831-018-9257-4>
- 20) DosSantos Gomes, D., de Oliveira Serra, G.L. 2021. Computational Approach for Real-Time Interval Type-2 Fuzzy Kalman Filtering and Forecasting via Unobservable Spectral Components of Experimental Data. *Journal of Control, Automation and Electrical Systems*. 32, 326–355. <https://doi.org/10.1007/s40313-020-00675-9>
- 21) Du, S., Liu, B., Zhang, X. & Zheng, Z. (2020). Large-scale urban functional zone mapping by integrating remote sensing images and open social data. *GIScience & Remote Sensing*, 57(3), 411–430. <https://doi/10.1080/15481603.2020.1724707>
- 22) Egrioglu, E., Bas, E. & Chen, M. 2024. A fuzzy Gaussian process regression function approach for forecasting problem. *Granular Computing*. 9, 47. <https://doi.org/10.1007/s41066-024-00475-5>
- 23) Elbakary, M. I., & Iftekharuddin, K. M. (2014). Shadow Detection of Man-Made Buildings in High-Resolution Panchromatic Satellite Images. *IEEE Transactions on Geoscience and Remote Sensing*, 52(9), 5374–5386. <https://doi/10.1109/TGRS.2013.2288500>
- 24) Elmizadeh, H. & Mahdipour, H. (2022). Monitoring of Qeshm Island Drainage Network Formic Patterns Using Fuzzy Segmentation of processed Panchromatic Images (HR-PRS). *Hydrogeomorphology*, 9(30), 64-49. <https://doi/10.22034/hyd.2022.44881.1580>. [persian].
- 25) Elmizadeh, H., & Mahdipour, H. (2023). Detection and Monitoring of Geomorphic Landforms in Areas with Shadow and Cloud Cover Using Remote Sensing Techniques and Fuzzy Segmentation. *Advanced Applied Geology*, 13(1), 72-89. <https://doi/10.22055/aag.2022.36423.2197>. [persian].
- 26) Fan, J., & Wang, J. (2018). A Two-Phase Fuzzy Clustering Algorithm Based on Neurodynamic Optimization with Its Application for PolSAR Image Segmentation. *IEEE Transactions on Fuzzy Systems*, 26(1), 72–83. <https://doi.org/10.1109/TFUZZ.2016.2637373>
- 27) Fang, W., Liang-shu, W., Jun-jie, H., Gui-ling, L. & Xi-ping, J. (2017). Optimized fuzzy C-means clustering algorithm for the interpretation of the near-infrared spectra of rocks. *Spectroscopy Letters*, 50(5), 270–274. <https://doi.org/10.1080/00387010.2017.1317271>

- 28) Feng, Guozheng., Ni, Mengying., Ou, Shifeng., Yan, Weiqing & Xu, Jindong. (2019). A Preferential Interval-Valued Fuzzy C-Means Algorithm for Remotely Sensed Imagery Classification. International Journal of Fuzzy Systems. <https://doi.org/10.1007/s40815-019-00706-x>
- 29) Fourie, C., (2015). On Attribute Thresholding and Data Mapping Functions in a Supervised Connected Component Segmentation Framework, Remote Sensing, Vol.7(6), pp.7350-7377. <https://doi.org/10.3390/rs70607350>.
- 30) Gaetano, R., Masi, G., Poggi, G., Verdoliva, L. & Scarpa, G. (2015). Marker-Controlled Watershed-Based Segmentation of Multiresolution Remote Sensing Images. IEEE Transactions on Geoscience and Remote Sensing, 53(6), 2987–3004. <http://dx.doi.org/10.1109/TGRS.2014.2367129>
- 31) Gao, B., & Wang, J. (2015). Multi-Objective Fuzzy Clustering for Synthetic Aperture Radar Imagery. IEEE Geoscience and Remote Sensing Letters, 12(11), 2341–2345. <http://dx.doi.org/10.1109/LGRS.2015.2477500>
- 32) Ghamisi, P., Ali, A.-R., Couceiro, M. S. & Benediktsson, J. A. (2015). A Novel Evolutionary Swarm Fuzzy Clustering Approach for Hyperspectral Imagery. IEEE Journal of Selected Topics in Applied Earth Observations and Remote Sensing, 8(6), 2447–2456. <https://doi.org/10.1109/JSTARS.2015.2398835>
- 33) He, T., Sun, Y.-J., Xu, J.-D., Wang, X.-J. & Hu, C.-R. (2014). Enhanced land use/cover classification using support vector machines and fuzzy k-means clustering algorithms. Journal of Applied Remote Sensing, 8(1), 083636. <https://doi/10.1117/1.jrs.8.083636>
- 34) HongLei, Y., JunHuan, P., BaiRu, X., & DingXuan, Z. (2013). Remote Sensing Classification Using Fuzzy C-means Clustering with Spatial Constraints Based on Markov Random Field. European Journal of Remote Sensing, 46(1), 305–316. <https://doi.org/10.5721/EuJRS20134617>
- 35) Hua, A. K. (2017). Land Use Land Cover Changes in Detection of Water Quality: A Study Based on Remote Sensing and Multivariate Statistics. Journal of Environmental and Public Health, 2017, 1–12. <https://doi/10.1155/2017/7515130>
- 36) Huang, C., Thomas, N., Goward, S. N., Masek, J. G., Zhu, Z., Townshend, J. R., & Vogelmann, J. E. (2010). Automated masking of cloud and cloud shadow for forest change analysis using Landsat images. International Journal of Remote Sensing, 31(20), 5449– 5464. <http://dx.doi.org/10.1080/01431160903369642>
- 37) Irish, R. R., Barker, J. L., Goward, S. N. & Arvidson, T. (2006). Characterization of the landsat-7 ETM+ automated cloud-cover assessment (ACCA) algorithm. Photogrammetric Engineering & Remote Sensing, 72(10), 1179– 1188. <http://dx.doi.org/10.14358/PERS.72.10.1179>
- 38) Iwahashi, J., Kamiya, I., Matsuoka, M. & Yamazaki, D. (2018). Global terrain classification using 280 m DEMs: segmentation, clustering, and reclassification. Progress in Earth and Planetary Science, 5(1). <https://doi/10.1186/s40645-017-0157-2>
- 39) Ji, X.; Huang, L.; Tang, B.-H.; Chen, G.; Cheng, F. 2022. A Superpixel Spatial Intuitionistic Fuzzy C-Means Clustering Algorithm for Unsupervised Classification of High Spatial Resolution Remote Sensing Images. Remote Sensing. 14(14):3490. <https://doi.org/10.3390/rs14143490>
- 40) Jurado, J. M., Cárdenas, J. L., Ogayar, C. J., Ortega, L., & Feito, F. R. (2020). Semantic Segmentation of Natural Materials on a Point Cloud Using Spatial and Multispectral Features. Sensors, 20(8), 2244. <Https://doi/10.3390/s20082244>
- 41) Lu, H., Liu, C., Li, N., & Guo, J. (2015). Segmentation of high spatial resolution remote sensing images of mountainous areas based on the improved mean shift algorithm. Journal of Mountain Science, 12(3), 671–681.
- 42) Luo, Y., Trishchenko, A. P., & Khlopenkov, K. V. (2008). Developing clear-sky, cloud and cloud shadow mask for producing clear-sky composites at 250-meter spatial resolution for the seven MODIS land bands over Canada and North America. Remote Sensing of Environment, 112(12), 4167– 4185. <https://doi/10.1016/j.rse.2008.06.010>
- 43) Mai, D.; Ngo, L. 2018. Semi-supervised Method with Spatial Weights based Possibilistic Fuzzy c-Means Clustering for Land-cover Classification, 5th NAFOSTED Conference on Information and Computer Science (NICS), Ho Chi Minh City, Vietnam, pp. 406-411, <https://doi/10.1109/NICS.2018.8606801>
- 44) Meneghini, Claudio & Parente, Claudio. (2015). A New Index to Perform Shadow Detection in GeoEye-1 Images. International Journal of Engineering and Technology. 7. 1581 – 1588. <https://doi/10.1109/s11769-013-0613-x>
- 45) Miao, Z., Shi, W., Samat, A., Lisini, G., & Gamba, P. (2016). Information Fusion for Urban Road Extraction From VHR Optical Satellite Images. IEEE Journal of Selected Topics in Applied Earth Observations and Remote Sensing, 9(5), 1817–1829. <https://doi/10.1109/jstars.2015.2498663>

- 46) Razavi-Moghaddam, Reza (2022). Studying the effect of geomorphological factors of Ala River basin on bank erosion and its role in environmental management, Master's thesis in Geomorphology, supervised by Heeva Elmizadeh, Faculty of Natural Resources, Khorramshahr University of Marine Sciences and Technology. [persian].
- 47) Richter R, Kellenberger T, Kaufmann H, (2009). Comparison of topographic correction methods. *Remote Sensing*, 1(3): 184– 196. <https://doi/10.3390/rs1030184>
- 48) Shah tahmassebi, A., Yang, N., Wang, K., Moore, N., & Shen, Z. (2013). Review of shadow detection and de-shadowing methods in remote sensing. *Chinese Geographical Science*, 23(4), 403– 420. <https://doi/10.1007/s11769-013-0613-x>
- 49) Sharma, R., Ravinder, M. 2023. Remote sensing image segmentation using feature based fusion on FCM clustering algorithm. *Complex & Intelligent Systems*. 9, 7423–7437. <https://doi.org/10.1007/s40747-023-01129-w>
- 50) Silva, G. F., Carneiro, G. B., Doth, R., Amaral, L. A., & de Azevedo, D. F. (2018). Near real-time shadow detection and removal in aerial motion imagery application. *ISPRS Journal of Photogrammetry and Remote Sensing*, 140, 104– 121. <https://doi.org/10.1016/j.isprsjprs.2017.11.005>
- 51) Simpson, J. J., Jin, Z., & Stitt, J. R. (2000). Cloud shadow detection under arbitrary viewing and illumination conditions. *IEEE Transactions on Geoscience and Remote Sensing*, 38(2), 972– 976. <https://doi/10.1109/36.841979>.
- 52) Swetnam, T. L., Gillan, J. K., Sankey, T. T., McClaran, M. P., Nichols, M. H., Heilman, P., & McVay, J. (2018). Considerations for Achieving Cross-Platform Point Cloud Data Fusion across Different Dryland Ecosystem Structural States. *Frontiers in Plant Science*, 8:2144. <https://doi/10.3389/fpls.2017.02144>
- 53) Tabib Mahmoudi, F. Samadzadegan, F. and Reinartz, P. (2015). Object recognition based on the context aware decision-level fusion in multiviews imagery," *Selected Topics in Applied Earth Observations and Remote Sensing, IEEE Journal*, 23(4), 403–420. vol. 8, pp. 12-22. <https://doi/10.1109/JSTARS.2014.2362103>
- 54) Wan, Y., Zhong, Y., & Ma, A. (2019). Fully Automatic Spectral–Spatial Fuzzy Clustering Using an Adaptive Multiobjective Memetic Algorithm for Multispectral Imagery. *IEEE Transactions on Geoscience and Remote Sensing*, 57(4), 2324–2340. <https://doi/10.1109/TGRS.2018.2872875>
- 55) Wang, T., Shi, J., Husi, L., Zhao, T., Ji, D., Xiong, C., & Gao, B. (2017). Effect of solar-cloud-satellite geometry on land surface shortwave radiation derived from remotely sensed data. *Remote Sensing*, 9(7), 690. <https://doi.org/10.3390/rs9070690>
- 56) Wang, T., Yan, G., Mu, X., Jiao, Z., Chen, L., & Chu, Q. (2018). Toward operational shortwave radiation modeling and retrieval over rugged terrain. *Remote Sensing of Environment*, 205, 419– 433. <https://doi.org/10.1016/j.rse.2017.11.006>
- 57) Xiao, T., Wan, Y., Chen, J., Shi, W., Qin, J., & Li, D. 2022. Multiresolution-Based Rough Fuzzy Possibilistic-Means Clustering Method for Land Cover Change Detection. *IEEE Journal of Selected Topics in Applied Earth Observations and Remote Sensing*, 16, 570. <https://doi/10.1109/JSTARS.2022.3228261>
- 58) Xu, Y., Chen, R., Li, Y., Zhang, P., Yang, J., Zhao, X. & Wu, D. (2019). Multispectral Image Segmentation Based on a Fuzzy Clustering Algorithm Combined with Tsallis Entropy and a Gaussian Mixture Model. *Remote Sensing*, 11(23), 2772. <https://doi.org/10.3390/rs11232772>
- 59) Yildiz, S., & Doker, M. F. (2016). Monitoring urban growth by using segmentation-classification of multispectral Landsat images in Izmit, Turkey. *Environmental Monitoring and Assessment*, 188(7). <https://doi/10.1007/s10661-016-5392-2>
- 60) Yu, X., He, H., Hu, D, and Zhou, W. (2014). Land cover classification of remote sensing imagery based on interval-valued data fuzzy c-means algorithm, *Science China Earth Sciences*, vol. 57, pp. 1306-1313. <https://doi.org/10.1007/s11430-013-4689-z>
- 61) Zeinali, B., & Asghari, S. (2016). Mapping and monitoring of dust storms in Iran by fuzzy clustering and remote sensing techniques. *Arabian Journal of Geosciences*, 9(9). <https://doi/10.1007/s12517-016-2575-7>
- 62) Zhang, Y., Jiang, P., Zhang, H., & Cheng, P. (2018). Study on Urban Heat Island Intensity Level Identification Based on an Improved Restricted Boltzmann Machine. *International Journal of Environmental Research and Public Health*, 15(2), 186. <https://doi/10.3390/ijerph15020186>
- 63) Zheng, Z.; Cao, J.; Lv, Z.; Benediktsson, J.A. (2019). Spatial–Spectral Feature Fusion Coupled with Multi-Scale Segmentation Voting Decision for Detecting Land Cover Change with VHR Remote Sensing Images. *Remote Sensing*, Vol.11(16), 2-22. <https://doi/2072-4292/11/16/1903>

- 64) Zhu, Z., & Woodcock, C. E. (2012). Object-based cloud and cloud shadow detection in Landsat imagery. *Remote Sensing of Environment*, 118, 83–94. <https://doi.org/10.1016/j.rse.2011.10.028>
- 65) Zhu, Z., & Woodcock, C. E. (2014). Automated cloud, cloud shadow, and snow detection in multitemporal Landsat data: An algorithm designed specifically for monitoring land cover change. *Remote Sensing of Environment*, 152, 217–234. <https://doi.org/10.1016/j.rse.2014.06.012>



## فصلنامه علمی جغرافیا

Journal Homepage: <https://mag.iga.ir>



شماره الکترونیکی: ۲۹۹۶-۲۷۱۷

دوره، شماره ۸۲، ۱۴۰۳

مقاله برگرفته از پایان نامه ارشد

### کارایی الگوریتم های خوشبندی فازی در بازشناسی خودکار الگوهای مورفولوژیک (مطالعه موردی: رودخانه علاء)

رضا رضوی مقدم<sup>۱</sup>، هیوا علمیزاده<sup>۱, ۲</sup>

۱. گروه زمین شناسی، دانشکده منابع طبیعی، دانشگاه علوم و فنون دریایی خرمشهر، ایران.

۲. گروه زمین شناسی، دانشکده منابع طبیعی، دانشگاه علوم و فنون دریایی خرمشهر، ایران. (نویسنده مسئول).

#### اطلاعات مقاله

#### چکیده

هدف این پژوهش ناحیه‌بندی فازی با استفاده از تصاویر ماهواره‌ای GeoEye-1 و الگوریتم‌های خوشبندی است و کارایی این تکنیک‌ها در آشکارسازی عوارض و پدیده‌های سطح زمین و بازشناسی خودکار الگوهای مورفولوژیک در رودخانه علاء بررسی می‌گردد. در این رابطه پس از پیش‌پردازش‌های رادیومتریک و هندسی، بر اساس ویژگی‌های فازی به ادغام تصاویر ورودی در نرم‌افزار MATLAB پرداخته و سپس با استفاده از الگوریتم‌های (FCM)، (PCM)، (GK) و (FSC) به ناحیه‌بندی مقاوم پوشش زمینی اقدام گردید. در این روش‌ها خوشبندی فازی چندین بار و برای تعداد خوشبندی‌های مختلف (از  $c_{\min}$  تا  $c_{\max}$ ) انجام گرفته و با ارزیابی خروجی خوشبندی و انتخاب بهترین تعداد نواحی ( $\hat{C}$ ) تعیین شده است. همچنین در مرحله پردازش جهت رسیدن به تعداد مشخصی خوش، تصویر خوشبندی می‌شود تا پس از اعمال Defuzzification بر روی آن، ناحیه‌بندی فازی صورت گیرد. در نهایت الگوریتم‌های خوشبندی فازی که دارای پارامترهای فازی هستند، بر روی تصاویر HR-PRS ورودی اعمال شده و نتایج آن مورد بحث و بررسی قرار گرفته است. نتایج ناحیه‌بندی فازی و مقایسه روش‌های پیشنهادی در محدوده مطالعاتی نشان می‌دهد که روش  $c$ -means (FSC) که در آن ابهام موجود در ناحیه‌بندی لحاظ شده، دارای بهترین عملکرد جهت یافتن تعداد خوشبندی‌های بهینه و آشکارسازی پدیده‌های سطحی می‌باشد. همچنین این الگوریتم دقت بالاتری را ارائه و مزهای اصلی را به خوبی تشخیص می‌دهد. این نتایج همچنین نشان‌دهنده اثربخشی الگوریتم‌های خوشبندی فازی جهت ناحیه‌بندی تصاویر چند طیفی می‌باشد و کارایی این روش‌ها را از منظر تشخیص عوارض و پدیده‌های مکانی و استخراج دقیق اطلاعات از تصاویر تأیید می‌نمایند.

#### واژگان کلیدی:

آشکارسازی

فرایند ادغام

ناحیه‌بندی فازی

تصاویر HR-PRS

سنجه‌نده GeoEye-1

تاریخ دریافت:

۱۴۰۳/۰۵/۱۰

تاریخ بازنگری:

۱۴۰۳/۰۸/۰۸

تاریخ پذیرش:

۱۴۰۳/۰۸/۱۰

تاریخ چاپ:

۱۴۰۳/۰۶/۰۱

**استناد:** رضوی مقدم، رضا و علمیزاده، هیوا (۱۴۰۳). کارایی الگوریتم‌های خوشبندی فازی در بازشناسی خودکار الگوهای مورفولوژیک (مطالعه موردی: رودخانه علاء)، فصلنامه علمی جغرافیا، (۸۲)، ۲۲، ۹۱-۱۰۶.

<http://doi.org/10.22034/iga.2024.2031946.1312>

صاحب امتیاز: انجمن جغرافیایی ایران



©

نویسنگان

**مقدمه و پیشینه**

استفاده از تکنولوژی سنجش از دور به دلیل مزیت‌های برجسته و منحصر به فرد آن در مطالعات علوم زمین و منابع طبیعی جایگاه ویژه‌ای دارد (3: 11; Benincasa et al, 2019; Capolongo et al, 2019: 3). تصویر برداری همزمان در چند طول موج مختلف، مقایسه‌ی چندزمانه، یکسان بودن زاویه تابش خورشید در همه تصاویر، بهروز بودن اطلاعات، سطح پوشش وسیع، پردازش رقومی، تنوع داده‌ها، سرعت انتقال داده‌ها، دارا بودن سیستم جمع‌آوری اطلاعات در کمترین زمان برای یک منطقه وسیع و امکان استفاده از کامپیوتراهای پیشرفته و دیگر سخت افزارهای ویژه جهت تفسیر و تحلیل اطلاعات، سنجش از دور را به عنوان مهم‌ترین تکنولوژی در آشکارسازی پوشش سطحی و عوارض سطح زمین مطرح ساخته است (Miao et al, 2016: 407; Zhang et al, 2018: 3; Du et al, 2020: 414). در چند دهه اخیر تکنولوژی سنجش از دور با استفاده از تجزیه و تحلیل تصاویر چند طیفی، ارائه امکانات مربوط به پردازش رقومی تصاویر با بازه‌های زمانی متفاوت و فناوری سیستم‌های اطلاعات جغرافیایی با قابلیت تحلیل‌های مکانی، امکان شناسایی پوشش سطحی زمین، مدل‌سازی و پیش‌بینی تغییرات آتی را فراهم ساخته است (Brian et al, 2011: 74). (528; Fan & Wang, 2018: 74)

در این رابطه پیشرفتهای فراوانی در روش‌های آشکارسازی تغییرات و عوارض سطح زمین حاصل شده است. این پیشرفت به دلیل امکان کاربرد حجم بسیار زیاد اطلاعات از نقاط مختلف، کسب داده از مناطق دوردست و صعب العبور، درک بهتر از پدیده‌های اقلیمی، پیشرفت در ابزارها، بهبود حاصله در اجرای مدل‌ها و توان پردازش به صورت خودکار و بدون دخالت انسان به دست آمده است. فرایند آشکارسازی تغییرات، شناسایی لندرم‌های زمین و نحوه پراکنش آنها از نیازهای اساسی علوم زمین و منابع طبیعی می‌باشد. از طرف دیگر فن‌آوری سنجش از دور، ابزار مفیدی جهت مطالعه و پایش عوارض و پدیده‌های سطح زمین به منظور تولید داده‌های مفید و با ارزش از نظر مکانی و زمانی می‌باشد (Chang et al, 2015: 4; Wang et al, 2018: 422) (HR-PRS) به دلیل توان بالای تفکیک مکانی و طیفی ابزار مفید و کارآمدی جهت شناسایی و طبقه‌بندی لندرم‌های سطح زمین به شمار می‌آیند. با وجود پیشرفتهای ماهواره‌های دورسنجی و توان تفکیک بالای این سنجنده‌ها در چند دهه اخیر، همواره نیاز به بهبود تصاویر سنجش از دور مطرح بوده است. این تصاویر اطلاعات بالرزشی از سطح زمین فراهم می‌آورند؛ در حالی که در بسیاری مواقع تشخیص عوارض سطحی زمین در مناطقی از تصویر که در سایه ابرها یا عوارض دیگر قرار دارند، می‌تواند به کاهش و تخريب اطلاعات این تصاویر منجر شود (Shahtahmassebi et al, 2013: 406; Swetnam et al, 2018: 6; Jurado et al, 2020: 7) (Chen et al, 2014: 5; Aboutalebi et al, 2018: 409; Jurado et al, 2020: 9).

بنابراین، انتخاب مناسب‌ترین الگوریتم‌های ناحیه‌بندی جهت بهبود شناسایی و تشخیص عوارض در این مناطق از اهمیت بالایی برخوردار است. انتخاب و توسعه این الگوریتم‌ها، تحت تأثیر پارامترهایی مانند دقت رادیومتریکی، شرایط

اتمسفری، توان تفکیک طیفی، مکانی، موضوعی و شرایط زمانی، تکنولوژی قدرتمندی را جهت استخراج اطلاعات و تهیه نقشه های موضوعی فراهم می آورند که امکان پایش و ارزیابی بهتر لندفرمها و روند تغییرات محیطی را با مقایسه تصاویر چند زمانه مهیا می کند (علمیزاده و مهدی پور، ۱۴۰۱: ۵۱). در این میان الگوریتم های خوشبندی فازی به عنوان یکی از روش هایی است که عملکرد قابل قبولی در ناحیه بندی تصاویر پنکروماتیک با توان تفکیک مکانی بالا (HR-PRS) داشته است (He et al, 2014; Zheng et al, 2019). ناحیه بندی فازی یک مرحله بسیار مهم و اساسی در مبحث پردازش تصویر است که در تشخیص، طرح ریزی و ارزیابی های مختلف لندفرمها و پدیده های محیطی نقش اساسی ایفا می کند (Lu et al, 2015: 673; Atta-Fosu et al, 2016: 5; Arai et al, 2016: 8; Yildiz & Doker, 2016: 8; Iwahashi et al, 2018: 4 al, 2018: 3; Iwahashi et al, 2018: 4). ناحیه بندی و بخش بندی تصاویر رقومی ماهواره ای به نواحی همگن یک فرایند کاربردی جهت استخراج اطلاعات کاربردی، آشکارسازی تغییرات، آشکارسازی ناهمسانی ها، آشکارسازی عوارض طبیعی و انسان ساخت، طبقه بندی، بازشناسی خودکار الگوهای فرمیک<sup>۵</sup> و درک توزیع پوشش های سطحی زمین محسوب می شود (علمیزاده و مهدی پور، ۱۴۰۲: ۷۴). ناحیه بندی تصاویر بر پایه فاکتورهای میانگین و واریانس وزنی، ترانس تشابه<sup>۶</sup> و پهنای پنجره<sup>۷</sup> کنترل می شود (Arekhi, 2015: 53; Chouhan et al, 2018: 7) و با توجه به اینکه معمولاً به صورت یک فرایند خوشبندی<sup>۸</sup> مدل می شود (HongLei et al, 2013: 307; Alok et al, 2015: 8)، بنابراین الگوریتم های خوشبندی فازی یکی از روش های پر کاربرد و مؤثر در ناحیه بندی تصاویر سنجش از دور محسوب می شوند.

در سال های اخیر روش های زیادی در ناحیه بندی تصاویر ماهواره ای بوجود آمده است. بررسی پیشینه هی تحقیق بیانگر کاربرد گسترده سنجش از دور و الگوریتم های خوشبندی فازی در ناحیه بندی و ارزیابی تغییرات محیطی است (Shen et al, 2011; Gaetano et al, 2015; Fourie et al, 2015; Feng et al, 2019; Adachi et al, 2017; Hua, Zeinali et al, 2016). در این رابطه کارایی ناحیه بندی و خوشبندی فازی برای طوفان های گرد و غبار ایران (2017 Yu et al, 2014; ) SPOT-5 مطالعه زمین شناسی سنگ ها (Fang et al, 2017)، تصاویر فراطیفی و تصاویر چند طیفی (Ghamisi et al, 2015; Bayram et al, 2018; Wan et al, 2019 Gao & Wang, 2015) و انتروپی تصاویر چند طیفی (Xu et al, 2019) مورد تأیید قرار گرفته است. مطالعات کاربردی نیز جهت ارزیابی تأثیر سایه و روش های تشخیص سایه و سایه زدایی در تصاویر سنجش از دور مانند GeoEye-1 (Meneghini & Parente, 2009) Landsat ETM (Chen et al., 2007) QuickBird و IKONOS (Richter et al., 2009) و Shahtahmassebi et al, 2013; Chen et al, 2014; Elbakary & Iftekharuddin, 2014; همچنین (Aboutalebi et al, 2018; Swetnam et al, 2018; Jurado et al, 2020) با هدف بازسازی اطلاعات از دست رفته

Change Detection

Anomaly Detection

Object & Target Detection

Classification

Automatic Morphic Pattern Recognition

Weight Variance & Weight Mean Factor

Similarity Tolerance

Window width

Clustering

به دلیل اثرات ابر و سایه توسعه یافته‌اند. این روش‌ها بر اساس مشخصات طیفی پیکسل‌های مجاور فضایی و نزدیک به اهداف، اطلاعات از دست رفته در اثر سایه را بازیابی می‌کنند. روش‌های مبتنی بر طیفی (Huang et al., 2010; Irish et al., 2006; Silva et al., 2018; Zhu & Woodcock, 2012; Zhu & Woodcock, 2014 ویژگی‌های چند طیفی یا فضای رنگی مختلف سایه‌ها در باندهای انعکاسی و یا حرارتی بستگی دارد.

در برخی مطالعات نیز از روش‌های مبتنی بر هندسه و روابط هندسی خورشید، ابرها و ماهواره برای تعیین موقعیت‌ها و توزیع سایه‌ها (Choi & Bindschadler, 2004; Huang et al., 2010; Luo et al., 2008; Simpson et al., 2017) و حذف ابر و سایه (Saiyehs ابر) استفاده شده است.

با توجه به موارد یادشده، هدف این پژوهش ناحیه‌بندی فازی با استفاده از تصاویر ماهواره‌ای GeoEye-1 و الگوریتم‌های خوشبندی و ادغام پیشنهادی است و کارایی این تکنیک‌ها در آشکارسازی ناهمسانی‌ها، عوارض و پدیده‌های سطح زمین و بازشناسی خودکار الگوهای فورمیک در روختانه علاء بررسی می‌گردد. در این پژوهش برای اولین بار الگوریتم‌های خوشبندی ارائه می‌شود که در آنها متريک به کار گرفته شده برای اعداد فازی، مقدار فازی را دارا می‌باشد. از این رو در این نوشتار بررسی تکنیک‌های ناحیه‌بندی فازی تصاویر پنکروماتیک با توان تفکیک مکانی بالا (HR-PRS) به منظور تشخیص هرچه بهتر و دقیق‌تر عوارض و پدیده‌های سطح زمین، می‌تواند جهت برنامه‌ریزی، مدیریت و توسعه پایدار آتی مناطق مفید باشد.

### روش پژوهش

در این نوشتار با هدف آشکارسازی ناهمسانی‌ها، عوارض و پدیده‌های سطح زمین و بازشناسی خودکار الگوهای فورمیک، از فرایند ناحیه‌بندی و الگوریتم‌های خوشبندی فازی استفاده شده است. جهت ناحیه‌بندی تصاویر، ضمن استفاده از ویژگی‌های رادیومتریکی، از اطلاعات مکانی تصاویر پنکروماتیک HR-PRS سنجنده GeoEye-1 که توسط ویژگی‌های بافتی استخراج می‌گردد نیز استفاده می‌گردد. علاوه بر این، با هدف بهبود دقت ناحیه‌بندی منطقه مطالعاتی، از اعداد و روش‌های خوشبندی فازی استفاده می‌گردد.

در این رابطه پس از پیش‌پردازش‌های رادیومتریک و هندسی، بر اساس ویژگی‌های فازی به ادغام تصاویر ورودی در نرم‌افزار MATLAB پرداخته و سپس با استفاده از الگوریتم‌های Possibilistic C-Means ، Fuzzy C-Means (FCM) Defuzzification بر روی آن، ناحیه‌بندی Fuzzy shell clustering (FSC)، Gustafson-Kessel (GK) ، (PCM) (شکل).

در این روش‌ها خوشبندی فازی چندین بار و برای تعداد خوشبندی‌های مختلف (از  $c_{\min}$  تا  $c_{\max}$ ) انجام گرفته و با ارزیابی خروجی خوشبندی و انتخاب بهترین تعداد نواحی ( $\hat{c}$ ) تعیین شده است. همچنین در مرحله پردازش جهت رسیدن به تعداد مشخصی خوش، تصویر خوشبندی می‌شود تا پس از اعمال Defuzzification بر روی آن، ناحیه‌بندی فازی صورت گیرد. در این مرحله با اختصاص هر پیکسل به یک خوش و برچسبزنی هر یک از پیکسل‌ها بر اساس اندازه مرکز خوش‌ای که بیشترین درجه تعلق را به آن دارا می‌باشد، تصویر ناحیه‌بندی شده حاصل می‌شود که در آن مرز نواحی کاملاً مشخص بوده و بسته به برچسب پیکسل، هر چه این برچسب بزرگ‌تر باشد، رنگ روشن‌تری به آن اختصاص می‌یابد.

<sup>۱</sup> یعنی پیکسل‌های متعلق به خوش با کوچکترین اندازه مرکز، برچسب ۱ دارند؛ به همین ترتیب پیکسل‌های متعلق به خوش با بزرگترین اندازه مرکز برچسب <sup>۶</sup> خواهند داشت.

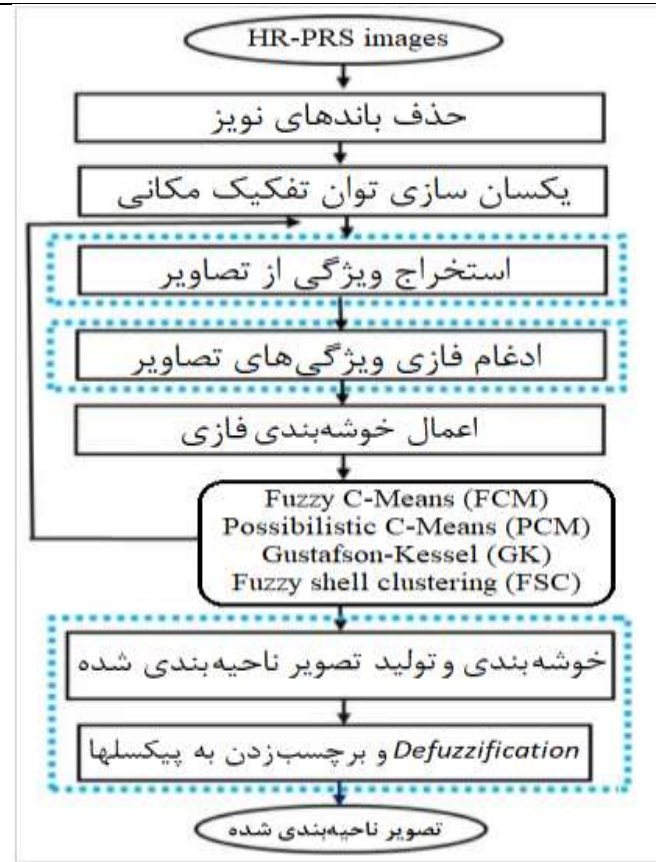
## جدول ۱. روش های ناحیه بندی فازی مورد مطالعه

ردیف	الگوریتم فازی	رفرنس	توضیحات
۱	Fuzzy C-Means (FCM)	Sharma & Ravinder, (2023; Ji et al, 2022	مبتنی بر ادغام در سطح پیکسل و در انتخاب مرکز خوش، مقدار میانگین مورد استفاده قرار می گیرد.
۲	Possibilistic C-Means (PCM)	Mai & Ngo, 2018; Xiao ) (et al, 2022	فاصله بین داده ها و مراکز خوشها (به ویژه خوش های کروی) با متر اقلیدسی اندازه گرفته می شود.
۳	Gustafson-Kessel (GK)	Egrioglu et al, 2024; ) (DosSantos et al, 2021	در این روش هر خوش علاوه بر مرکز خوش توسط یک ماتریس متقارن، معین و مثبت مشخص می شود.
۴	Fuzzy shell clustering (FSC)	Atiyah & Taheri, 2020; ) (Abaspur et al, 2021	از روش های بسیار مرسوم در ناحیه بندی انواع تصاویر، برای تعیین خطوط، دوایر و بیضی ها روی مجموعه داده های متناظر با زیرساخت های پیچیده پیشنهاد شده است.

در این رابطه جهت بهبود عملکرد ناحیه بندی فازی از مقادیر DN و ویژگی های بافتی و رادیومتریکی استفاده شده است. بنابراین دو حالت برای الگوریتم های ناحیه بندی در نظر گرفته شده است. در یک حالت مقادیر DN یا ویژگی رادیومتریکی تصاویر پنکروماتیک ورودی (Ben Salah et al, 2010: 226) و در حالت دیگر مقادیر DN به همراه ویژگی های کنتراست، آنتروپی، انرژی و همگنی به دست آمده از ماتریس<sup>۱</sup> GLCM (Tabib Mahmoudi et al, 2015: 16) و ویژگی های به دست آمده بر پایه انرژی بافت لاوز<sup>۲</sup> از تصاویر مورد مطالعه استخراج شده و جهت استفاده از اطلاعات مکانی تصاویر و دستیابی به نتایج بهتر ناحیه بندی مورد استفاده قرار گرفته است. این ویژگی ها تک نقطه ها، میانگین وزن دار و موج ها را در دو بعد نمایش می دهند. بلوک دیاگرام الگوریتم های فازی در (شکل ) نمایش داده شده است.

<sup>۱</sup>Gray-Level Co-Occurrence Matrix

۲. لاوز یک روش استخراج انرژی بافت را پیشنهاد نمود که میزان تغییرات در یک پنجره ثابت را اندازه گیری می کند. او با استفاده از کانولوشن با ۹ ماسک ۵\*۵ به محاسبه انرژی بافت پرداخت که در نتیجه به ازای هر پیکسل ۹ ویژگی بافت حاصل نمود.



شکل ۲. بلوک دیاگرام روش‌های پیشنهادی برای ناحیه‌بندی مقاوم تصاویر HR-PRS  
منبع: (توصیم از نویسندهان)

در این پژوهش ضمن استفاده از الگوریتم‌های خوشبندی فازی با خروجی فازی و تخصیص درجه تعلق فازی به پیکسل‌ها جهت مدل نمودن عدم قطعیت مکانی، از انواع اعداد فازی با توابع عضویت مختلف نیز برای ورودی استفاده می‌شود تا عدم قطعیت ذاتی نیز مدل گردد. در الگوریتم‌های مورد بررسی مدل دلخواه عدم قطعیت را می‌توان جهت اعداد ورودی در نظر گرفت. همچنین بسیاری از متريک‌ها قابل تعميم به حوزه اعداد فازی بوده و می‌توانند در خوشبندی به کار روند که هر یک ویژگی خاصی به روش خوشبندی می‌دهند.

در این رابطه از فرآيند ادغام تصاوير پنکروماتيک HR-PRS که ماهيتی فازی دارد، به عنوان یک خروجی ميانی جهت ناحیه‌بندی استفاده شده است.

فرآيند ادغام داده، يك تكنيك مؤثر جهت استفاده بهينه از حجم وسیع داده‌ها می‌باشد که از ترکيب اطلاعات مختلف، جهت رسيدن به اطلاعات مفيد و جديد با دقت بالا استفاده می‌نماید.

با توجه به ماهيت تصاوير PRS-HR، در تصاوير ادغامي اعداد فازی نرمال (گوسی) مناسب‌ترین نوع اعداد جهت مدل نمودن پیکسل‌ها می‌باشند.

با توجه به وجود نويز نامحسوس<sup>۱</sup> در تصاوير PRS-HR، عوامل مانند قرارگيري پیکسل‌ها در سايه و زير لکه‌های سفيد ابر باعث تفاوت فاحش مقادير واقعی زمينی و مقادير پیکسل‌ها می‌گردد. مجموعه نويز نامحسوس و عوامل پيش‌بيينى

<sup>۱</sup>Fusion

نشده عدم قطعیت ذاتی داده های دورسنجی را بیان می کنند. در این نوشتار بر اساس مقادیر بدست آمده برای ویژگی ها در تصاویر ورودی ، مقادیر هر ویژگی به صورت یک عدد فازی بیان می شود

(مجموعه اعداد فازی  $\tilde{X} = \{\tilde{x}_1, \tilde{x}_2, \dots, \tilde{x}_n\}, \tilde{x}_k = (\tilde{x}_{k,1}, \dots, \tilde{x}_{k,p}), k = 1, \dots, n$  ) که با توجه به تصاویر HR-PRS و مجموعه های  $X^{(1)}, \dots, X^{(\ell)}, \dots, X^{(L)}$  تعیین می شوند). این فرایند باعث افزایش احتمال وجود مقادیر واقعی

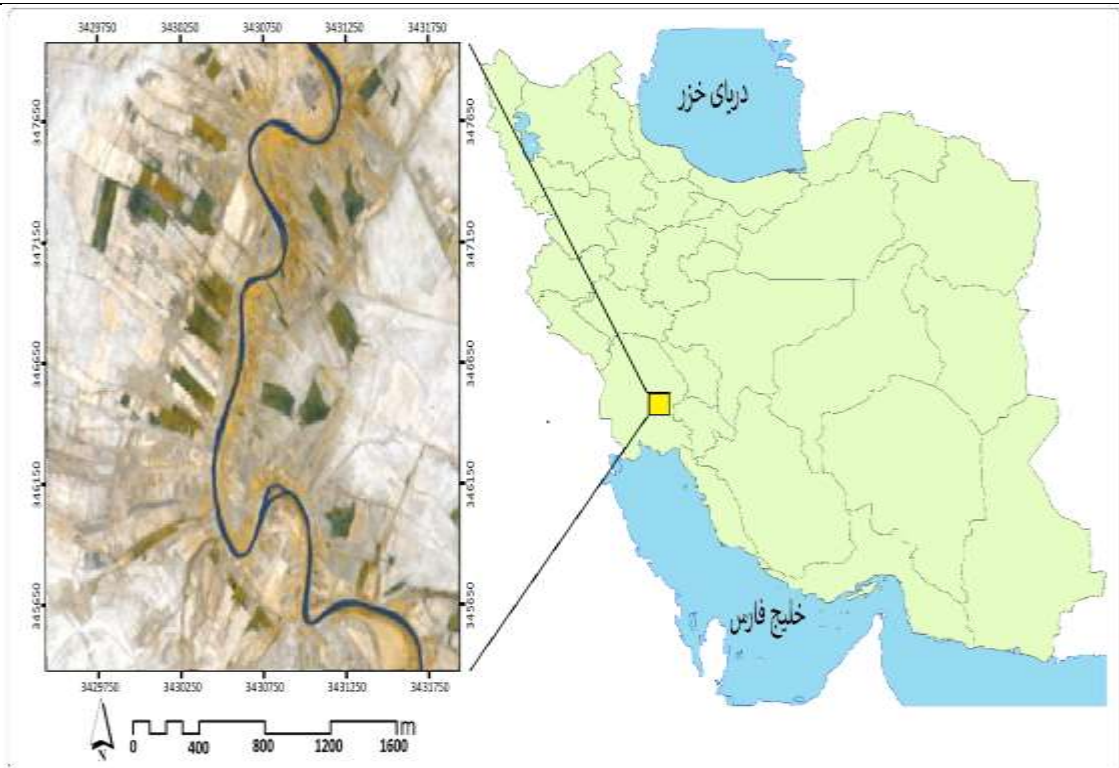
ویژگی ها در مقادیر در نظر گرفته شده برای آن می گردد. در الگوریتم های خوشبندی ارائه شده این پژوهش متريک به کار گرفته شده برای اعداد فازی، مقدار فازی را دارا می باشد و جهت حالت هايي که درجه عضويت نيز ماهيتي فازی دارد، روش های خوشبندی ارائه می گردد.

در نهايىت الگوریتم های خوشبندی فازی مورد بررسی که دارای پaramترهاي فازی هستند، بر روی تصاویر HR-PRS ورودی اعمال شده و نتایج آن مورد بحث و بررسی قرار گرفته است.

### محدوده مورد مطالعه

در اين پژوهش بخش مرکزی رودخانه علاء در حوضه رامهرمز می باشد (شکل ۱). اين رودخانه که به رودخانه رامهرمز نيز معرف است از شاخه های اصلی رودخانه جراحی در جنوب غرب ايران و شرق استان خوزستان است که از ارتفاعات واقع در ۷۰ کيلومتری شرق و شمال شرقی رامهرمز سرچشمه می گيرد و پس از طی مسیر حدود ۱۳۰ کيلومتری در محلی به نام چم هاشم به رودخانه مارون ملحق شده و در اين محل سیستم رودخانه ای جراحی را تشکیل می دهد. رودخانه علاء يکی از رودخانه های دائمی و مهم خوزستان بوده که از ارتفاعات زاگرس سرچشمه گرفته و در مسیر خود از محدوده های متنوعی اعم از بخش های مختلف کشاورزی، روستایی و شهری عبور می نماید و تأمین آب بخش مهمی از مراکز جمعیتی و اراضی کشاورزی را انجام می دهد. (رضوی مقدم، ۱۴۰۱: ۴۳).

۲. در تصاویر HR-PRS حتی با جبران و مدل سازی انواع عوامل مؤثر و خطاساز در تصویربرداری مانند سنجنده، اتمسفر، نامسطح بودن و تغییرات زمانی زمین، اختلاف ناچیز بین تصاویر اخذ شده و واقیت زمینی باز هم وجود دارد که از آن به نویز نامحسوس یاد می شود.



شکل ۱. تصویر سنجنده GeoEye-1 مربوط به محدوده مورد مطالعه

منبع: (ترسیم از نویسندهان)

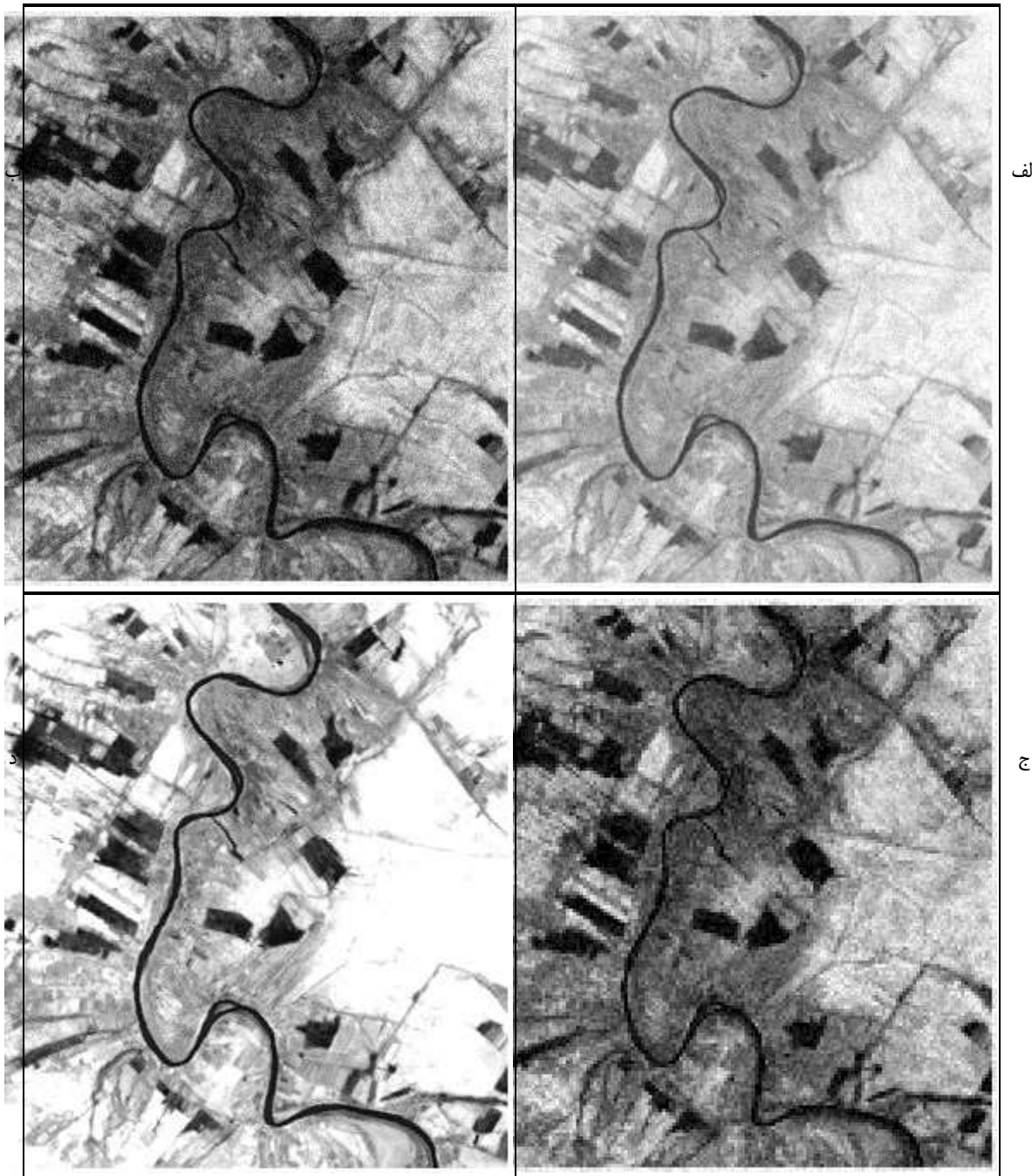
## بحث و یافته‌ها

**معیار توپوگرافی:** جهت مقایسه و تحلیل عملکرد خوشبندی فازی در فرایند ناحیه‌بندی، الگوریتم‌های (FCM)، (FSC) و (GK)، (PCM) بر روی تصاویر پنکروماتیک HR-PRS محدوده مورد مطالعه اعمال و پردازش گردید. در این رابطه عملکرد الگوریتم‌های مورد بررسی جهت مقایسه و تحلیل کیفی تصاویر حاصله، با توجه به دو معیار و سه شاخص کیفی مکانی؛ رادیومتریکی<sup>۱</sup> و مکانی-رادیومتریک در ناحیه‌بندی فازی محدوده مورد مطالعه مورد بررسی قرار گرفت:

- ❖ معیار ۱: در این معیار تشخیص صحیح مرز رودخانه و تمایز رودخانه از محیط پیرامون و همچنین فرم و ساختار رودخانه که دارای انحنای نیز می‌باشد، ملاک سنجش قرار گرفته است. در این معیار، انتظار می‌رود مرز رودخانه در تصویر به خوبی تشخیص داده شود و از محیط پیرامونش جدا گردد. این معیار از نوع ارزیابی مکانی می‌باشد.
- ❖ معیار ۲: در این معیار که از نوع ارزیابی مکانی-رادیومتریکی می‌باشد، ناحیه‌بندی صحیح مناطق کشاورزی و باغات اطراف رودخانه، تمایز آنها از یکدیگر و محیط پیرامون در منطقه مد نظر می‌باشد و انتظار می‌رود فرم هندسی مربوط به این اراضی به درستی ناحیه‌بندی گردد.

<sup>۱</sup>Spatial

<sup>۲</sup>Radiometric



شکل ۳. نتایج ناحیه‌بندی روش‌های پیشنهادی هنگام اعمال بر روی محدوده مورد مطالعه:  
 (الف) (GK)، (ب) (PCM)، (ج) (FCM)، (د) (FSC)  
 منبع: (ترسیم از نویسندهان)

با توجه به اینکه یکی از چالش‌های ناحیه‌بندی فازی تصاویر HR-PRS، عدم امکان مدل نمودن و استفاده همزمان از تمامی اطلاعات موجود و همچنین حذف عوامل پیش‌بینی نشده از جمله انواع نویزها در این تصاویر و حذف اثرات عدم قطعیت تصاویر در خروجی ناحیه‌بندی می‌باشد، در این پژوهش با توجه به مزایای استفاده از ویژگی‌ها و الگوریتم‌های

خوشه‌بندی فازی، از ویژگی‌های فازی و نیز نسخه‌های تعمیم‌یافته روش خوشه‌بندی Fuzzy C-Means (FCM) جهت ناحیه‌بندی تصاویر HR-PRS استفاده گردید.

**Error! Reference source not found.** نتایج ناحیه‌بندی فازی و مقایسه روش‌های پیشنهادی در محدوده مطالعاتی (۳) نشان می‌دهد که الگوریتم (FSC) نسبت به سایر روش‌های مورد بررسی عملکرد مناسب‌تری جهت ناحیه‌بندی فازی دارد. این روش در هر دو معیار مورد ارزیابی عملکرد خوبی داشته است؛ به طوریکه در تشخیص صحیح مرز رودخانه و تمایز رودخانه از محیط پیرامون و ناحیه‌بندی فرم هندسی مربوط به باغات و اراضی کشاورزی و تمایز این عوارض انسانی از یکدیگر و محیط پیرامون بهترین عملکرد را بین الگوریتم‌های مورد بررسی نشان داد. این روش که ابهام موجود در تصاویر HR-PRS در ناحیه‌بندی لحاظ شده، در شاخص‌های کیفی مکانی، رادیومتریکی و مکانی-رادیومتریک در ناحیه‌بندی فازی محدوده مورد مطالعه نتایج قابل قبولی به دست آورد و در مجموع دارای بهترین عملکرد جهت یافتن تعداد خوشه‌های بهینه و مراکز خوشه‌ها و آشکارسازی پدیده‌های سطحی می‌باشد (شکل ۳-۵).

این نتایج نشان می‌دهد که الگوریتم خوشه‌بندی FSC برای توصیف ویژگی‌های خوشه‌بندی و رسیدن به ماهیت فازی داده‌های سنجش از دور که ناشی از عدم قطعیت و ناهمگنی در بازتاب طیفی سطح اشیا زمین می‌باشد، کارایی بالای دارد (Atiyah & Taheri, 2020; Abaspur et al, 2021) و چنین فرایندی می‌تواند به طور قابل توجهی اثر خوشه‌بندی را بهبود بخشد و تشخیص عوارض سطحی را تسهیل نماید. به ویژه، این فرآیند می‌تواند با تشخیص عوارض طبیعی و انسانی در تصاویر سنجش از دور با توان تفکیک بالا، اطلاعات مورد نیاز را بازسازی نماید و اشکالات ناحیه‌بندی ناشی از همپوشانی ویژگی‌های طیفی بین طبقات نتایج خوشه‌بندی را کاهش و بهبود دهد. همچنین این الگوریتم قابلیت تفکیک پذیری عوارض را تنظیم و دقت بالاتری را ارائه می‌دهد و مراکز اصلی را به خوبی تشخیص و مرزهای اضافی را حذف می‌کند.

نتایج بدست آمده همچنین نشان می‌دهد که روش Gustafson-Kessel (GK) در زمینه شناسایی پدیده‌های مکانی و آشکارسازی رودخانه که معیاری مکانی است، عملکرد مناسبی را در ناحیه‌بندی از خود نشان داده است (شکل ۳-الف) و در خوشه‌بندی فازی پیکسل‌های تصاویر HR-PRS مورد بررسی مرزهای تصویر به خوبی تفکیک شده‌اند. همچنین در ناحیه‌بندی فازی فرم هندسی مربوط به اراضی کشاورزی و باغات و تمایز این عوارض انسانی از یکدیگر و محیط پیرامون نیز عملکرد قابل قبولی نشان داد؛ اما به دلیل حساسیت بالای این الگوریتم نسبت به نویز با مسئله پیدایش مرزهای اضافی روپرورست (Egrioglu et al, 2024; DosSantos et al, 2021).

روش‌های Fuzzy C-Means (FCM) و Possibilistic C-Means (PCM) که در کاربردهای تحلیل داده مناسب و مفید می‌باشند، برای خوشه‌های فشرده محدب کاربرد دارند؛ به همین دلیل الگوریتم‌های خوشه‌بندی یکپارچه<sup>۱</sup> نیز نامیده می‌شوند. الگوریتم‌های FCM و PCM دارای عملکرد خوبی مانند روش FSC در زمینه معیار ارزیابی مکانی و رادیومتریکی و تشخیص دقیق مرز رودخانه و تمایز آن از عوارض محیط پیرامون نمی‌باشند (شکل ۳-ب و ج). این الگوریتم‌ها از فاصله اقلیدسی جهت خوشه‌بندی فازی استفاده می‌کنند و نسبت به نقاط پرت حساسیت کمتری دارند؛ از این‌رو برای داده‌هایی که در آن‌ها کلاس‌ها دارای شکل و حجم متفاوت‌اند، چندان مناسب به نظر نمی‌رسند. به طور کلی

<sup>۱</sup>Solid clustering algorithms

این الگوریتمها هر چند در شناسایی و آشکارسازی رودخانه عملکرد نسبتاً مناسبی داشتند، برای ناحیه‌بندی و استخراج دقیق اطلاعات پدیده‌های مکانی از تصاویر سنجش از دور با وضوح بالا کارایی متوسطی نشان می‌دهند ( Mai & Ngo, 2018; Xiao et al, 2022; Sharma & Ravinder, 2023; Ji et al, 2022 در زمینه تشخیص عوارض تا حد زیادی دقت خوبی نشان دادند.

با توجه به اینکه معیار رودخانه به عنوان یک شاخص سنجش مکانی<sup>۱</sup> در نظر گرفته می‌شود، نشان می‌دهد الگوریتم‌های مورد بررسی در شاخص مکانی قابلیت خوبی دارند. اما اوج تفاوت عملکرد این الگوریتم‌ها در ناحیه‌بندی فازی فرم هندسی مربوط به اراضی کشاورزی و باغات و تمایز این عوارض انسانی از یکدیگر و محیط پیرامون می‌باشد که در این زمینه الگوریتم FSC عملکرد مناسب‌تری داشته و این کار به درستی توسط این روش صورت پذیرفته و دارای بهترین عملکرد در این شاخص می‌باشد که ماهیتی مکانی- رادیومتریکی دارد. دلیل این امر استفاده از اعداد فازی و نیز روش‌های خوشه‌بندی کارا در این روش می‌باشد.

### نتیجه‌گیری

نتایج اعمال الگوریتم‌های (FCM)، (PCM)، (GK) و (FSC) ناحیه‌بندی فازی بر روی تصاویر پنکروماتیک- PRS محدوده مورد بررسی نشان می‌دهد بهره‌گیری از روابط مکانی محلی<sup>۲</sup> و کلی<sup>۳</sup> پیکسل‌ها جهت خوشه‌بندی فازی تصاویر و استفاده از ویژگی‌های ساختاری، بافتی و طیفی جهت ناحیه‌بندی تصاویر پنکروماتیک، قابلیت بالایی در تشخیص و آشکارسازی عوارض سطحی منطقه دارد. به طور کلی الگوریتم‌های فازی مورد مطالعه به ویژه FSC در ناحیه‌بندی و خوشه‌بندی دقیق حجم وسیع داده‌های ورودی و نیز تشخیص و آشکارسازی عوارض و پدیده‌های سطحی و ناحیه‌بندی تصاویر پنکروماتیک به خوبی عمل می‌نمایند. در این میان الگوریتم FSC که در آن ابهام موجود در تصاویر در ناحیه‌بندی لحاظ شده، نمونه‌های با ذات متفاوت را در تصاویر HR-PRS از سایر داده‌ها را بیرون می‌کشد. همچنین در صورت جایگزینی متر اقلیدسی با متر اصلاح شده جهت اندازه‌گیری فاصله بین داده‌ها و نمونه‌ها، قادر به تشخیص بهتر عوارض با فرم‌های متفاوت (سهمی، هذلولی و خوشه‌های خطی) می‌باشند. هدف این الگوریتم استخراج نمونه‌هایی است که از سایر داده‌ها متفاوت‌اند، لذا به اصلاح فاصله بین آنها می‌پردازد.

در مقایسه با FCM در الگوریتم Gustafson-Kessel هر خوشه علاوه بر مرکز خوشه توسط یک ماتریس معین، متقارن و مثبت مشخص و متمایز می‌گردد. باید این موضوع را هم در نظر گرفت که این ماتریس برای هر خوشه یک نرم ایجاد می‌کند و با انتخاب دلخواه و اختیاری ماتریس‌ها، فاصله‌ها را به طور دلخواه می‌توان کوچک نمود و تغییر داد. در این رابطه با جایگزین کردن فاصله اقلیدسی در الگوریتم FCM با متری که توسط یک ماتریس معین، متقارن و

<sup>۱</sup>Spatial

<sup>۲</sup>Local

<sup>۳</sup>Global

مثبت ایجاد می‌شود؛ می‌توان به شناسایی خوش‌های دقیق‌تر و با کیفیت‌تری نیز دست یافت. همچنین برای اجتناب از کمینه‌سازی تابع هدف با ماتریس‌های با ورودی‌های تقریباً صفر، نیاز به مقداری ثابت برای خوش‌ها با ماتریسی با دترمینان<sup>۳</sup> یک داریم. در این راستا اگر خوش‌بندی داده‌های ورودی با رویکرد امکان صورت گیرد، فرم خوش‌ها (و نه اندازه‌هایشان) متغیر بوده و جهت و موقعیت را می‌توان از ماتریس و مرکز خوش‌ها به دست آورد. از این رو کیفیت نتایج حاصل از الگوریتم‌های خوش‌بندی فازی بهشت وابسته به داده‌های در دسترس بوده و فاکتورهای توسعه برای این خوش‌ها می‌توانند جهت تشخیص دقیق‌تر لندفرم‌ها در تصاویر مورد استفاده قرار گیرند. در این رابطه یک روش پیشنهادی مؤثر جهت افزایش سرعت همگرایی و کاهش گام‌های تکرار، آغاز الگوریتم خوش‌بندی GK و FSC با نتایج حاصل از اجرای روش FCM می‌باشد.

همچنین، می‌توان گفت در ادغام اطلاعات تصاویر HR-PRS، اعداد فازی نوع نرمال بهترین نوع اعداد جهت استفاده در ناحیه‌بندی منطقه می‌باشند و استفاده از اعداد فازی و فازی سازی درجه عضویت و پارامترهای فاصله در حالت کلی می‌تواند ما را به نتایج بهتری در ناحیه‌بندی تصاویر ماهواره‌ای برساند. بر این اساس با توجه به ویژگی‌های بارز الگوریتم‌های خوش‌بندی فازی از جمله مقاومت در برابر نویز و داده‌های دور افتاده، استفاده از الگوریتم‌های خوش‌بندی فازی ویژگی‌های فازی نوع نرمال (گوسی) که مبتنی بر روش خوش‌بندی (FCM) باشند، از بهترین ویژگی‌ها جهت ناحیه‌بندی تصاویر HR-PRS می‌باشند.

### حامی مالی

این اثر حامی مالی نداشته است.

### سهم نویسنده‌گان

نویسنده‌گان در انجام این پژوهش سهم برابر دارند.

### تضاد منافع

نویسنده‌گان اعلام می‌دارند، هیچ تضاد منافعی در رابطه با نویسنده‌گی و یا انتشار این مقاله ندارند.

### تقدیر و تشکر

بنا به اظهار نویسنده مسئول این مقاله مستخرج از نتایج پایان نامه اجرا شده در دانشگاه علوم و فنون دریایی خرمشهر می‌باشد. نویسنده‌گان از افرادی که در انجام این پژوهش همکاری داشتند، تشکر می‌کنند.

<sup>۱</sup>Mahalanobis

<sup>۲</sup>Determinant

## منابع

- (۱) رضوی مقدم، رضا (۱۴۰۱). بررسی تاثیر عوامل ژئومورفولوژیکی حوضه رودخانه علاء بر فرسایش کناری و نقش آن در مدیریت محیط، پایان نامه کارشناسی ارشد ژئومورفولوژی، به راهنمایی هیوا علمیزاده، دانشکده منابع طبیعی، دانشگاه علوم و فنون دریایی خرمشهر.
- (۲) علمیزاده، هیوا و مهدی پور، هادی. (۱۴۰۱). پردازش تصاویر پانکروماتیک (HR-PRS) و پایش الگوهای فرمیک شبکه آبراهه‌های جزیره قشم با استفاده از تکنیک‌های ناحیه‌بندی فازی. هیدروژئومورفولوژی، ۳۰(۹)، ۴۹-۶۴. doi: <https://doi.org/10.22034/hyd.2022.44881.1580>
- (۳) علمیزاده، هیوا و مهدی پور، هادی. (۱۴۰۲). آشکارسازی و پایش عوارض زمین‌ریخت‌شناسی در مناطق با پوشش سایه و ابر با استفاده از تکنیک‌های دورستنجی و ناحیه‌بندی فازی. زمین‌شناسی کاربردی پیشرفت، ۱۳(۱)، ۸۹-۷۲. doi: <https://doi.org/10.22055/AAG.2022.36423.2197>
- 4) Abaspur Kazerouni, I.; Mahdipour, H.; Dooly, G.; Toal, D. 2021. Vector Fuzzy c-Spherical Shells (VFCSS) over Non-Crisp Numbers for Satellite Imaging. *Remote Sens*, 13, 4482. <https://doi.org/10.3390/rs13214482>
- 5) Aboutalebi, M., Torres-Rua, A. F., Kustas, W. P., Nieto, H., Coopmans, C., & McKee, M. (2018). Assessment of different methods for shadow detection in high-resolution optical imagery and evaluation of shadow impact on calculation of NDVI, and evapotranspiration. *Irrigation Science*, 37(3), 407–429. <https://doi.org/10.1007/s00271-018-0613-9>
- 6) Adachi, M., Ito, A., Yonemura, S., & Takeuchi, W. (2017). Estimation of global soil respiration by accounting for land-use changes derived from remote sensing data. *Journal of Environmental Management*, 200, 97–104. <https://doi.org/10.1016/j.jenvman.2017.05.076>
- 7) Alok, A. K., Saha, S., & Ekbal, A. (2015). Multi-objective semi-supervised clustering for automatic pixel classification from remote sensing imagery. *Soft Computing*, 20(12), 4733–4751. <https://doi.org/10.1007/s00500-015-1701-x>
- 8) Arai, R., Kodaira, S., Takahashi, T., Miura, S., & Kaneda, Y. (2018). Seismic evidence for arc segmentation, active magmatic intrusions and syn-rift fault system in the northern Ryukyu volcanic arc. *Earth, Planets and Space*, 70(1). <https://doi.org/10.1186/s40623-018-0830-8>
- 9) Arekhi, S., (2015). Detecting changes cover land use with object-oriented processing satellite images using the software Idrisi Selva (Case study: Abdanan). *Journal of Geographic Information*, 24: 51-61. <https://doi.org/10.22131/sepehr.2015.15552>
- 10) Atiyah, S. Taheri, M. 2020. Statistical and Fuzzy Clustering Methods and their Application to Clustering Provinces of Iraq based on Agricultural Products , AUT Journal of Mathematics and Computing. 1(1), 101-112. <https://doi.org/10.22060/ajmc.2019.14873.1013>
- 11) Atta-Fosu, T., Guo, W., Jeter, D., Mizutani, C., Stopczynski, N., & Sousa-Neves, R. (2016). 3D Clumped Cell Segmentation Using Curvature Based Seeded Watershed. *Journal of Imaging*, 2(4), 31.
- 12) Bayram, B., Demir, N., Akpinar, B., Oy, S., Erdem, F., Vögtle, T., Seker, D. Z. (2018). Effect of Different Segmentation Methods Using Optical Satellite Imagery to Estimate Fuzzy Clustering Parameters for SENTINEL-1A SAR Images, International archives of the photogrammetry, remote sensing and spatial information sciences, 12(14), 39–43, <https://doi.org/10.5194/isprs>.
- 13) Ben Salah. M, Mitiche. A, and Ben Ayed. I. (2010) Effective level set image segmentation with a kernel induced data term, *Image Processing, IEEE Transactions on*, 11(19), 220-232. <https://doi.org/10.1109/TIP.2009.2032940>
- 14) Benincasa, M., Falcini, F., Adduce, C., Sannino, G., & Santoleri, R. (2019). Synergy of Satellite Remote Sensing and Numerical Ocean Modelling for Coastal Geomorphology Diagnosis. *Remote Sensing*, 11(22), 2636. <https://doi.org/10.3390/rs11222636>
- 15) Brian, W. S., C. Qi and B. Michael. 2011. A comparison of classification techniques to support land cover and land use analysis in tropical coastal zones. *Applied Geography*, 31: 525-532. <http://dx.doi.org/10.1016/j.apgeog.2010.11.007>
- 16) Capolongo, D., Refice, A., Bocchiola, D., D'Addabbo, A., Vouvalidis, K., Soncini, A., Stamatopoulos, L. (2019). Coupling multitemporal remote sensing with geomorphology and hydrological modeling for post flood recovery in the Strymonas dammed river basin (Greece). *Science of the Total Environment*, 651, 1958–1968. <https://doi.org/10.1016/j.scitotenv.2018.10.114>

- 17) Chang, N.-B., Bai, K., & Chen, C.-F. (2015). Smart information reconstruction via time-space-spectrum continuum for cloud removal in satellite images. *IEEE Journal of Selected Topics in Applied Earth Observations and Remote Sensing*, 8(5), 1898– 1912. <https://doi/10.1109/JSTARS.2015.2400636>
- 18) Chen Y, Wen D, Jing L et al., 2007. Shadow information recovery in urban areas from very high resolution satellite imagery. *International Journal of Remote Sensing*, 28(15): 3249–3254. <http://dx.doi.org/10.1080/01431160600954621>
- 19) Chen, D., Shang, S., & Wu, C. (2014). Shadow-based Building Detection and Segmentation in High-resolution Remote Sensing Image. *Journal of Multimedia*, 9(1). <https://doi/10.4304/jmm.9.1.181-188>
- 20) Choi, H., & Bindschadler, R. (2004). Cloud detection in Landsat imagery of ice sheets using shadow matching technique and automatic normalized difference snow index threshold value decision. *Remote Sensing of Environment*, 91(2), 237– 242. <https://doi/10.1016/j.rse.2004.03.007>
- 21) Chouhan, S. S., Kaul, A. & Singh, U. P. (2018). Image Segmentation Using Computational Intelligence Techniques: Review. *Archives of Computational Methods in Engineering*, 26(3), 533– 596. <https://doi/10.1007/s11831-018-9257-4>
- 22) DosSantos Gomes, D., de Oliveira Serra, G.L. 2021. Computational Approach for Real-Time Interval Type-2 Fuzzy Kalman Filtering and Forecasting via Unobservable Spectral Components of Experimental Data. *Journal of Control, Automation and Electrical Systems*. 32, 326–355. <https://doi.org/10.1007/s40313-020-00675-9>
- 23) Du, S., Liu, B., Zhang, X. & Zheng, Z. (2020). Large-scale urban functional zone mapping by integrating remote sensing images and open social data. *GIScience & Remote Sensing*, 57(3), 411– 430. <https://doi/10.1080/15481603.2020.1724707>
- 24) Egrioglu, E., Bas, E. & Chen, M. 2024. A fuzzy Gaussian process regression function approach for forecasting problem. *Granular Computing*. 9, 47. <https://doi.org/10.1007/s41066-024-00475-5>
- 25) Elbakary, M. I., & Iftekharuddin, K. M. (2014). Shadow Detection of Man-Made Buildings in High-Resolution Panchromatic Satellite Images. *IEEE Transactions on Geoscience and Remote Sensing*, 52(9), 5374–5386. <https://doi/10.1109/TGRS.2013.2288500>
- 26) Elmizadeh, H. & Mahdipour, H. (2022). Monitoring of Qeshm Island Drainage Network Formic Patterns Using Fuzzy Segmentation of processed Panchromatic Images (HR-PRS). *Hydrogeomorphology*, 9(30), 64-49. <https://doi/10.22034/hyd.2022.44881.1580>. [persian].
- 27) Elmizadeh, H., & Mahdipour, H. (2023). Detection and Monitoring of Geomorphic Landforms in Areas with Shadow and Cloud Cover Using Remote Sensing Techniques and Fuzzy Segmentation. *Advanced Applied Geology*, 13(1), 72-89. <https://doi/10.22055/aag.2022.36423.2197>. [persian].
- 28) Fan, J., & Wang, J. (2018). A Two-Phase Fuzzy Clustering Algorithm Based on Neurodynamic Optimization with Its Application for PolSAR Image Segmentation. *IEEE Transactions on Fuzzy Systems*, 26(1), 72–83. <https://doi.org/10.1109/TFUZZ.2016.2637373>
- 29) Fang, W., Liang-shu, W., Jun-jie, H., Gui-ling, L. & Xi-ping, J. (2017). Optimized fuzzy C-means clustering algorithm for the interpretation of the near-infrared spectra of rocks. *Spectroscopy Letters*, 50(5), 270–274. <https://doi.org/10.1080/00387010.2017.1317271>
- 30) Feng, Guozheng., Ni, Mengying., Ou, Shifeng., Yan, Weiqing & Xu, Jindong. (2019). A Preferential Interval-Valued Fuzzy C-Means Algorithm for Remotely Sensed Imagery Classification. *International Journal of Fuzzy Systems*. <https://doi.org/10.1007/s40815-019-00706-x>
- 31) Fourie, C., (2015). On Attribute Thresholding and Data Mapping Functions in a Supervised Connected Component Segmentation Framework, *Remote Sensing*, Vol.7(6), pp.7350-7377. <https://doi.org/10.3390/rs70607350>.
- 32) Gaetano, R., Masi, G., Poggi, G., Verdoliva, L. & Scarpa, G. (2015). Marker-Controlled Watershed-Based Segmentation of Multiresolution Remote Sensing Images. *IEEE Transactions on Geoscience and Remote Sensing*, 53(6), 2987–3004. <http://dx.doi.org/10.1109/TGRS.2014.2367129>
- 33) Gao, B., & Wang, J. (2015). Multi-Objective Fuzzy Clustering for Synthetic Aperture Radar Imagery. *IEEE Geoscience and Remote Sensing Letters*, 12(11), 2341–2345. <http://dx.doi.org/10.1109/LGRS.2015.2477500>
- 34) Ghamisi, P., Ali, A.-R., Couceiro, M. S. & Benediktsson, J. A. (2015). A Novel Evolutionary Swarm Fuzzy Clustering Approach for Hyperspectral Imagery. *IEEE Journal of Selected Topics in Applied Earth Observations and Remote Sensing*, 8(6), 2447–2456. <https://doi.org/10.1109/JSTARS.2015.2398835>

- 35) He, T., Sun, Y.-J., Xu, J.-D., Wang, X.-J. & Hu, C.-R. (2014). Enhanced land use/cover classification using support vector machines and fuzzy k-means clustering algorithms. *Journal of Applied Remote Sensing*, 8(1), 083636. <https://doi/10.1117/1.jrs.8.083636>
- 36) HongLei, Y., JunHuan, P., BaiRu, X., & DingXuan, Z. (2013). Remote Sensing Classification Using Fuzzy C-means Clustering with Spatial Constraints Based on Markov Random Field. *European Journal of Remote Sensing*, 46(1), 305–316. <https://doi.org/10.5721/EuJRS20134617>
- 37) Hua, A. K. (2017). Land Use Land Cover Changes in Detection of Water Quality: A Study Based on Remote Sensing and Multivariate Statistics. *Journal of Environmental and Public Health*, 2017, 1–12. <https://doi/10.1155/2017/7515130>
- 38) Huang, C., Thomas, N., Goward, S. N., Masek, J. G., Zhu, Z., Townshend, J. R., & Vogelmann, J. E. (2010). Automated masking of cloud and cloud shadow for forest change analysis using Landsat images. *International Journal of Remote Sensing*, 31(20), 5449– 5464. <http://dx.doi.org/10.1080/01431160903369642>
- 39) Irish, R. R., Barker, J. L., Goward, S. N. & Arvidson, T. (2006). Characterization of the landsat-7 ETM+ automated cloud-cover assessment (ACCA) algorithm. *Photogrammetric Engineering & Remote Sensing*, 72(10), 1179– 1188. <http://dx.doi.org/10.14358/PERS.72.10.1179>
- 40) Iwashashi, J., Kamiya, I., Matsuoka, M. & Yamazaki, D. (2018). Global terrain classification using 280 m DEMs: segmentation, clustering, and reclassification. *Progress in Earth and Planetary Science*, 5(1). <https://doi/10.1186/s40645-017-0157-2>
- 41) Ji, X.; Huang, L.; Tang, B.-H.; Chen, G.; Cheng, F. 2022. A Superpixel Spatial Intuitionistic Fuzzy C-Means Clustering Algorithm for Unsupervised Classification of High Spatial Resolution Remote Sensing Images. *Remote Sensing*. 14(14):3490. <https://doi.org/10.3390/rs14143490>
- 42) Jurado, J. M., Cárdenas, J. L., Ogayar, C. J., Ortega, L., & Feito, F. R. (2020). Semantic Segmentation of Natural Materials on a Point Cloud Using Spatial and Multispectral Features. *Sensors*, 20(8), 2244. <Https://doi/10.3390/s20082244>
- 43) Lu, H., Liu, C., Li, N. & Guo, J. (2015). Segmentation of high spatial resolution remote sensing images of mountainous areas based on the improved mean shift algorithm. *Journal of Mountain Science*, 12(3), 671–681.
- 44) Luo, Y., Trishchenko, A. P. & Khlopenkov, K. V. (2008). Developing clear-sky, cloud and cloud shadow mask for producing clear-sky composites at 250-meter spatial resolution for the seven MODIS land bands over Canada and North America. *Remote Sensing of Environment*, 112(12), 4167– 4185. <https://doi/10.1016/j.rse.2008.06.010>
- 45) Mai, D.; Ngo, L. 2018. Semi-supervised Method with Spatial Weights based Possibilistic Fuzzy c-Means Clustering for Land-cover Classification, 5th NAFOSTED Conference on Information and Computer Science (NICS), Ho Chi Minh City, Vietnam, pp. 406-411, <https://doi/10.1109/NICS.2018.8606801>
- 46) Meneghini, Claudio & Parente, Claudio. (2015). A New Index to Perform Shadow Detection in GeoEye-1 Images. *International Journal of Engineering and Technology*. 7. 1581 – 1588. <https://doi/10.1109/s11769-013-0613-x>
- 47) Miao, Z., Shi, W., Samat, A., Lisini, G., & Gamba, P. (2016). Information Fusion for Urban Road Extraction From VHR Optical Satellite Images. *IEEE Journal of Selected Topics in Applied Earth Observations and Remote Sensing*, 9(5), 1817–1829. <https://doi/10.1109/jstars.2015.2498663>
- 48) Razavi-Moghaddam, Reza (2022). Studying the effect of geomorphological factors of Ala River basin on bank erosion and its role in environmental management, Master's thesis in Geomorphology, supervised by Heeva Elmizadeh, Faculty of Natural Resources, Khorramshahr University of Marine Sciences and Technology. [persian].
- 49) Richter R, Kellenberger T, Kaufmann H, (2009). Comparison of topographic correction methods. *Remote Sensing*, 1(3): 184– 196. <https://doi/10.3390/rs1030184>
- 50) Shahtahmassebi, A., Yang, N., Wang, K., Moore, N., & Shen, Z. (2013). Review of shadow detection and de-shadowing methods in remote sensing. *Chinese Geographical Science*, 23(4), 403–420. <https://doi/10.1007/s11769-013-0613-x>
- 51) Sharma, R., Ravinder, M. 2023. Remote sensing image segmentation using feature based fusion on FCM clustering algorithm. *Complex & Intelligent Systems*. 9, 7423–7437. <https://doi.org/10.1007/s40747-023-01129-w>

- 52) Silva, G. F., Carneiro, G. B., Doth, R., Amaral, L. A., & de Azevedo, D. F. (2018). Near real-time shadow detection and removal in aerial motion imagery application. *ISPRS Journal of Photogrammetry and Remote Sensing*, 140, 104– 121. <https://doi.org/10.1016/j.isprsjprs.2017.11.005>
- 53) Simpson, J. J., Jin, Z., & Stitt, J. R. (2000). Cloud shadow detection under arbitrary viewing and illumination conditions. *IEEE Transactions on Geoscience and Remote Sensing*, 38(2), 972– 976. <https://doi/10.1109/36.841979>.
- 54) Swetnam, T. L., Gillan, J. K., Sankey, T. T., McClaran, M. P., Nichols, M. H., Heilman, P., & McVay, J. (2018). Considerations for Achieving Cross-Platform Point Cloud Data Fusion across Different Dryland Ecosystem Structural States. *Frontiers in Plant Science*, 8:2144. <https://doi/10.3389/fpls.2017.02144>
- 55) Tabib Mahmoudi, F. Samadzadegan, F. and Reinartz, P. (2015). Object recognition based on the context aware decision-level fusion in multiviews imagery," Selected Topics in Applied Earth Observations and Remote Sensing, IEEE Journal, 23(4), 403–420. vol. 8, pp. 12-22. <https://doi/10.1109/JSTARS.2014.2362103>
- 56) Wan, Y., Zhong, Y., & Ma, A. (2019). Fully Automatic Spectral–Spatial Fuzzy Clustering Using an Adaptive Multiobjective Memetic Algorithm for Multispectral Imagery. *IEEE Transactions on Geoscience and Remote Sensing*, 57(4), 2324–2340. <https://doi/10.1109/TGRS.2018.2872875>
- 57) Wang, T., Shi, J., Husi, L., Zhao, T., Ji, D., Xiong, C., & Gao, B. (2017). Effect of solar-cloud-satellite geometry on land surface shortwave radiation derived from remotely sensed data. *Remote Sensing*, 9(7), 690. <https://doi.org/10.3390/rs9070690>
- 58) Wang, T., Yan, G., Mu, X., Jiao, Z., Chen, L., & Chu, Q. (2018). Toward operational shortwave radiation modeling and retrieval over rugged terrain. *Remote Sensing of Environment*, 205, 419–433. <https://doi.org/10.1016/j.rse.2017.11.006>
- 59) Xiao, T., Wan, Y., Chen, J., Shi, W., Qin, J., & Li, D. 2022. Multiresolution-Based Rough Fuzzy Possibilistic-Means Clustering Method for Land Cover Change Detection. *IEEE Journal of Selected Topics in Applied Earth Observations and Remote Sensing*, 16, 570. <https://doi/10.1109/JSTARS.2022.3228261>
- 60) Xu, Y., Chen, R., Li, Y., Zhang, P., Yang, J., Zhao, X. & Wu, D. (2019). Multispectral Image Segmentation Based on a Fuzzy Clustering Algorithm Combined with Tsallis Entropy and a Gaussian Mixture Model. *Remote Sensing*, 11(23), 2772. <https://doi.org/10.3390/rs11232772>
- 61) Yildiz, S., & Doker, M. F. (2016). Monitoring urban growth by using segmentation-classification of multispectral Landsat images in Izmit, Turkey. *Environmental Monitoring and Assessment*, 188(7). <https://doi/10.1007/s10661-016-5392-2>
- 62) Yu, X., He, H., Hu, D., and Zhou, W. (2014). Land cover classification of remote sensing imagery based on interval-valued data fuzzy c-means algorithm, *Science China Earth Sciences*, vol. 57, pp. 1306-1313. <https://doi.org/10.1007/s11430-013-4689-z>
- 63) Zeinali, B., & Asghari, S. (2016). Mapping and monitoring of dust storms in Iran by fuzzy clustering and remote sensing techniques. *Arabian Journal of Geosciences*, 9(9). <https://doi/10.1007/s12517-016-2575-7>
- 64) Zhang, Y., Jiang, P., Zhang, H., & Cheng, P. (2018). Study on Urban Heat Island Intensity Level Identification Based on an Improved Restricted Boltzmann Machine. *International Journal of Environmental Research and Public Health*, 15(2), 186. <https://doi/10.3390/ijerph15020186>
- 65) Zheng, Z.; Cao, J.; Lv, Z.; Benediktsson, J.A. (2019). Spatial–Spectral Feature Fusion Coupled with Multi-Scale Segmentation Voting Decision for Detecting Land Cover Change with VHR Remote Sensing Images. *Remote Sensing*, Vol.11(16), 2-22. <https://doi/2072-4292/11/16/1903>
- 66) Zhu, Z., & Woodcock, C. E. (2012). Object-based cloud and cloud shadow detection in Landsat imagery. *Remote Sensing of Environment*, 118, 83– 94. <https://doi.org/10.1016/j.rse.2011.10.028>
- 67) Zhu, Z., & Woodcock, C. E. (2014). Automated cloud, cloud shadow, and snow detection in multitemporal Landsat data: An algorithm designed specifically for monitoring land cover change. *Remote Sensing of Environment*, 152, 217– 234. <https://doi.org/10.1016/j.rse.2014.06.012>